# Синергетический синтез алгоритмов управления двухосным кардановым подвесом

# А. А. Алмаз

Институт компьютерных технологий и информационной безопасности Южный Федеральный Университет

almaz@sfedu.ru

Аннотация. В данной работе рассматривается задача управления синтеза алгоритмов лля двухосного подвеса c использованием синергетической теории управления, который учитывает нелинейную динамику системы, включая перекрёстные кориолисовы, центробежные гравитационные компоненты, что позволяет обеспечить высокую точность. Решаются задачи позиционирования и слежения, а эффективность разработанных алгоритмов оценена путём моделирования.

Ключевые слова: двухосный карданов подвес, синергетическая теория управления, управление позиционированием, следящее управление

## І. Введение

Системы угловой ориентации играют ключевую роль в обеспечении стабилизации и точного наведения объектов в различных областях техники, Одним из примеров таких систем, выступает карданов подвес.

Двухосный карданов подвес представляет собой механическую систему, предназначенную для позиционирования и ориентации нагрузки, например, камеры, лазерного излучателя или антенны в пространстве. Он является ключевым элементом во многих системах наведения и стабилизации угловой ориентации различного применения.

Эффективность работы карданного подвеса в значительной степени определяется качеством управления. Однако алгоритмов проектирование алгоритмов управления для таких систем сопряжено с сложностей: нелинейностью перекрёстными связями между осями. Следовательно, разработка эффективных алгоритмов управления для нелинейных систем двухосной угловой ориентации становится важной и актуальной задачей.

В статье предлагается подход к синтезу алгоритмов управления двухосным карданным подвесом на основе синергетической теории управления для решения задач – позиционирования и слежения, по двум осям.

#### II. МАТЕМАТИЧЕСКАЯ МОДЕЛЬ

Пример карданного подвеса с камерой на рис. 1.

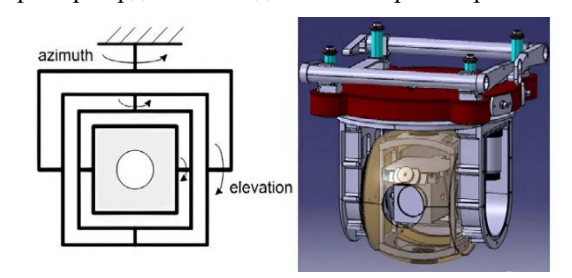


Рис. 1. Карданов подвес

Динамика двухосного карданова подвеса описывается уравнением Лагранжа [1]–[6]:

$$\mathbf{D}(\mathbf{q})\ddot{\mathbf{q}} + \mathbf{C}(\mathbf{q}, \dot{\mathbf{q}})\dot{\mathbf{q}} + \mathbf{F}_{s}(\mathbf{q}, \dot{\mathbf{q}}) + \mathbf{G}(\mathbf{q}) = \tau, \qquad (1)$$

где D(q) — матрица инерции, которая зависит от углов;  $\mathbf{q} = [\mathbf{q}_1,\ \mathbf{q}_2]^T$  — углы азимута и места;  $C(\mathbf{q},\ \dot{\mathbf{q}})$  — матрица Кориолиса и центробежных сил;  $\mathbf{F}\mathbf{s}$  — вектор моментов трения;  $G(\mathbf{q})$  — вектор гравитационного момента деформации, возникающий в результате смещения центра тяжести груза на оси вращения;  $\tau$  — управляющие моменты на осях.

Соответственно,  $q_1$ ,  $\dot{q}_1$ ,  $\ddot{q}_1$  представляют собой угол, угловую скорость и угловое ускорение оси азимута. Аналогично,  $q_2$ ,  $\dot{q}_2$ ,  $\ddot{q}_2$  — это угол, угловая скорость и угловое ускорение оси места.

Матрица инерции:

$$\mathbf{D}(\mathbf{q}) = \begin{bmatrix} I_1 + I_2 \sin^2 q_2 + I_3 \cos^2 q_2 & 0\\ 0 & I_4 \end{bmatrix}, \tag{2}$$

где  $I_1$ ,  $I_2$ ,  $I_3$ ,  $I_4$  – константы моментов инерции.

Матрица кориолисовых, центробежных и гироскопических сил выглядит следующим образом:

$$\mathbf{C}(\mathbf{q}, \dot{\mathbf{q}}) = \begin{bmatrix} \frac{1}{2} (I_2 - I_3) \sin(2q_2) \dot{q}_2 & \frac{1}{2} (I_2 - I_3) \sin(2q_2) \dot{q}_1 \\ -\frac{1}{2} (I_2 - I_3) \sin(2q_2) \dot{q}_1 & 0 \end{bmatrix}. \quad (3)$$

Вектора момента трения и гравитационного момента определяются как:

$$\mathbf{F}_{s} = \begin{bmatrix} F_{s} \operatorname{sgn}(\dot{q}_{1}) \\ F_{s} \operatorname{sgn}(\dot{q}_{2}) \end{bmatrix}, \qquad \mathbf{G}(\mathbf{q}) = \begin{bmatrix} 0 \\ k \sin(q_{2}) \end{bmatrix}, \qquad (4)$$

где Fs – коэффициент сухого трения; k – произведение веса кардана на расстояние от центра масс до оси вращения.

Таким образом, на основании (1) – (4), можно записать:

$$\left( (I_1 + I_3) + (I_2 - I_3)\sin^2(q_2) \right) \ddot{q}_1 + F_s \operatorname{sgn}(\dot{q}_1) + 
+ (I_2 - I_3)\sin(2q_2) \dot{q}_1 \dot{q}_2 = \tau_1, 
I_4 \ddot{q}_2 - \frac{1}{2} (I_2 - I_3)\sin(2q_2) \dot{q}_1^2 + k \sin(q_2) + F_s \operatorname{sgn}(\dot{q}_2) = \tau_2.$$
(5)

Анализируя (5), можно прийти к выводу, что отклик системы не зависит от величин  $I_1$ ,  $I_2$  и  $I_3$  независимо друг от друга, так как сумма  $I_1+I_3$  — влияет на инерционные свойства азимутальной оси, а разность  $I_2$ — $I_3$  влияет на кориолисовы силы, то есть если  $I_2$ = $I_3$ , они исчезают [2].

Введя следующие обозначения:

$$\mathbf{A}_{1} = \mathbf{I}_{1} + \mathbf{I}_{3}, \quad \mathbf{A}_{2} = \mathbf{I}_{2} - \mathbf{I}_{3}, \quad \mathbf{A}_{3} = \mathbf{I}_{4}, \quad \mathbf{A}_{4} = \mathbf{k}, \quad \mathbf{A}_{5} = \mathbf{F}_{s}$$

$$\mathbf{x} = \begin{bmatrix} q_{1} \\ q_{2} \\ \dot{q}_{1} \\ \dot{q}_{2} \end{bmatrix}, \qquad \mathbf{u} = \begin{bmatrix} \tau_{1} \\ \tau_{2} \end{bmatrix},$$

можно получить математическую модель двухосного карданова подвеса в переменных состояния:

$$\dot{x}_{1} = x_{3} 
\dot{x}_{2} = x_{4} 
\dot{x}_{3} = \frac{u_{1} - A_{2} \sin(2x_{2})x_{3}x_{4} - A_{5} |x_{3}|}{A_{1} + A_{2} \sin^{2}(x_{2})} 
\dot{x}_{4} = \frac{(u_{2} + \frac{1}{2}A_{2} \sin(2x_{2})x_{3}^{2} - A_{4} \sin(x_{2}) - A_{5} |x_{4}|)}{A_{3}}$$
(6)

#### III. Синтез алгоритмов управления

## А. Синтез для задачи двухосного позиционирования

Для синтеза регулятора используются принципы синергетической теории управления [7]–[10]. В данном случае решается задача стабилизации углов ориентации карданова подвеса в заданных значениях  $x_1^*$  и  $x_2^*$ .

На первом этапе процедуры синтеза вводится следующая совокупность инвариантных многообразий:

$$\psi_1 = x_3 - k_1(x_1 - x_1^*) = 0,$$
  
 $\psi_2 = x_4 - k_2(x_2 - x_2^*) = 0.$ 

На пересечении инвариантных многообразий получаем декомпозированную систему

$$\dot{x}_1 = k_1(x_1 - x_1^*),$$
  
 $\dot{x}_2 = k_2(x_2 - x_2^*),$ 

которая, очевидно, обладает свойством асимптотической устойчивости относительно заданных значений углов при  $k_1,k_2<0$ 

Закон управления находится из решения системы основных функциональных уравнений относительно макропеременных  $\psi_1$  и  $\psi_2$ :

$$T_1 \dot{\psi}_1 + \psi_1 = 0,$$
  
 $T_2 \dot{\psi}_2 + \psi_2 = 0,$  (7)

И имеет следующий вид:

$$\begin{split} U &= \left\{ u_1 = -\frac{1}{T_1} (A_1 k_1 (x_1^* - x_1) - A_2 \sin(2x_2) T_1 x_3 x_4 - A_5 \left| x_3 \right| T_1 \right. \\ &- A_2 \sin(x_2)^2 (k_1 (x_1^* + x_1 + T_1 x_3) - x_3) - A_1 T_1 k_1 x_3 + A_1 x_3), \\ u_2 &= -\frac{1}{2T_2} (A_2 \sin(2x_2) T_2 x_3^2 - 2A_3 T_2 k_2 x_4 + 2k_2 A_3 x_2^* - \\ &- 2k_2 A_3 x_2 - 2A_4 \sin(x_2) T_2 - 2A_5 \left| x_4 \right| T_2 + 2x_4 A_3) \right\}. \end{split}$$

На рис. 2 и рис. 3 представлены результаты моделирования при следующих параметрах [2]:  $T_1=0,1$ ;  $T_2=0,1$ ;  $k_1=-3$ ;  $k_2=-3$ ;  $k_1=3.4798$ ;  $k_2=0.4543$ ;  $k_3=2.0234$ ;  $k_4=2.9767$ ;  $k_5=0.1014$ ;  $k_1=4$  и  $k_2=1$ .

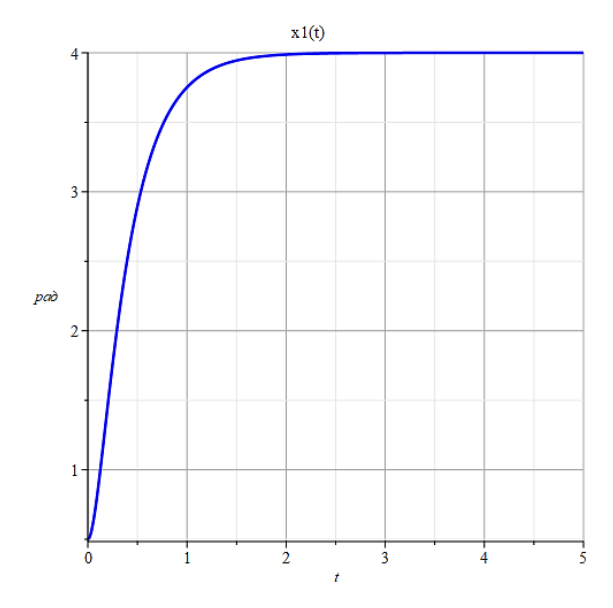


Рис. 2. Угловое положение по углу азимута

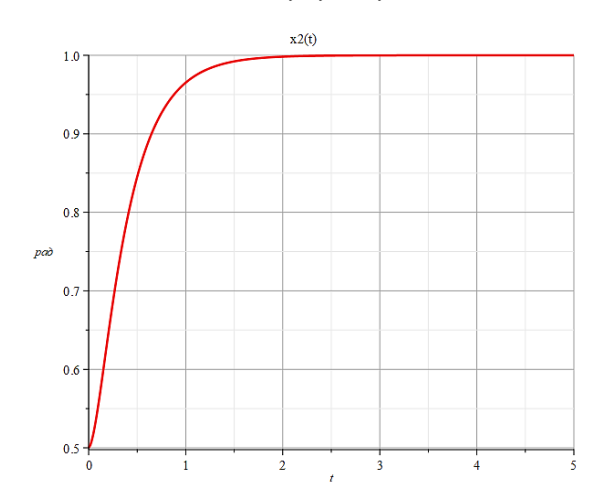


Рис. 3. Угловое положение по углу места

Угловые положения по углам азимута и места стабилизировались в заданных значениях, следовательно закон управления отработал корректно.

## В. Синтез для задачи двухосного слежения

Если рассматривать задачу слежения, то углы азимута и места должны изменяться в соответствии с входными сигналами, являющимися априори неизвестными функциями времени. Для синергетического синтеза алгоритмов следящего управления используется подход, изложенный в работе [7].

Применяется принцип расширения пространства состояний исходной системы для учета влияния внешних факторов и дополнительных условий за счет добавления дифференциальных уравнений опорного временного сигнала, в данном случае линейной функции времени с изменяемым коэффициентом наклона, и используется методика синтеза асимптотического наблюдателя коэффициента наклона аппроксимирующей прямой [7].

Так как сигналов два, следовательно, модель синтеза выглядит следующим образом:

$$\begin{split} \dot{x}_1 &= x_3, \\ \dot{x}_2 &= x_4, \\ \dot{x}_3 &= \frac{u_1 - A_2 \sin(2x_2) x_3 x_4 - A_5 |x_3|}{\left(A_1 + A_2 \sin^2(x_2)\right)}, \\ \dot{x}_4 &= \frac{u_2 + \frac{1}{2} A_2 \sin(2x_2) x_3^2 - A_4 \sin(x_2) - A_5 |x_4|}{A_3}, \\ \dot{z}_1 &= z_2, \\ \dot{z}_2 &= 0, \\ \dot{z}_3 &= z_4, \\ \dot{z}_4 &= 0. \end{split}$$

где  $z_1$ ,  $z_3$  — переменные моделей опорных сигналов,  $z_2$ ,  $z_4$  — переменные, которые описывают текущее значение коэффициента наклона соответствующей аппроксимирующей прямой.

Аналогично начинаем синтез начинаем с введения совокупности инвариантных многообразий:

$$\psi_1 = x_3 - k_1(x_1 - z_1) = 0,$$
  
 $\psi_2 = x_4 - k_2(x_2 - z_3) = 0.$ 

Далее получаем закон управления для системы (8) решая систему основных функциональных уравнений (7):

$$U = \left\{ u_1 = \frac{1}{T_1} (A_2 \sin(x_2)^2 T_1 k_1 (x_3 - z_2) - A_1 x_3 + A_5 | x_3 | T_1 + A_2 \sin(2x_2) T_1 x_3 x_4 + A_1 T_1 k_1 (x_3 - z_2) + A_1 k_1 (x_1 - z_1) + A_2 \sin(x_2)^2 (k_1 (x_1 - z_1) - x_3)), \right.$$
(9)  

$$u_2 = -\frac{1}{2T_2} (A_2 \sin(2x_2) T_2 x_3^2 - 2A_3 T_2 k_2 x_4 + 2A_3 T_2 k_2 z_4 - A_3 \sin(x_2) T_2 + 2k_2 A_3 z_3 - 2k_2 A_3 x_2 - 2A_5 | x_4 | T_2 + 2x_4 A_3) \right\}.$$

Следующий этап заключается в синтезе наблюдателя для получения оценок ненаблюдаемых переменных  $z_2$  и  $z_4$  по значениям вектора наблюдаемых переменных и вектора управления.

На основании модели синтеза (8) сформируем матрицы и вектора  $\mathbf{g_0}$ ,  $\mathbf{h_0}$ ,  $\mathbf{G_1}$ ,  $\mathbf{H_1}$ :

$$\mathbf{g_0} = \begin{bmatrix} x_3 \\ x_4 \\ \frac{u_1 - A_2 \sin(2x_2)x_3x_4 - A_5 |x_3|}{A_1 + A_2 \sin^2(x_2)} \\ \frac{u_2 + \frac{1}{2}A_2 \sin(2x_2)x_3^2 - A_4 \sin(x_2) - A_5 |x_4|}{A_3} \\ 0 \\ 0 \\ 0 \end{bmatrix}, \quad (10)$$

$$\mathbf{G_1} = \begin{bmatrix} 0 & 0 \\ 0 & 0 \\ 0 & 0 \\ 0 & 0 \\ 1 & 0 \\ 0 & 1 \end{bmatrix},\tag{11}$$

$$\mathbf{h_0} = \begin{bmatrix} 0 \\ 0 \end{bmatrix}, \qquad \mathbf{H_1} = \begin{bmatrix} 0 & 0 \\ 0 & 0 \end{bmatrix}. \tag{12}$$

Матрица  $\mathbf{L}(\mathbf{x})$  задается так, чтобы обеспечивалось асимптотическое схождение ненаблюдаемых переменных и их оценок, то есть на основании условий устойчивости. Так как имеется две ненаблюдаемые переменные, то матрица  $\mathbf{L}(\mathbf{x})$  будет выглядеть следующим образом:

$$\mathbf{L}(\mathbf{x}) = \begin{bmatrix} l_1 & 0 \\ 0 & l_2 \end{bmatrix}. \tag{13}$$

Далее решаем матричное уравнение  $\Gamma \cdot G_1 = H_1 - L$ , определяя матрицу  $\Gamma(\mathbf{x})$  как:

$$\Gamma(\mathbf{x}) = \begin{bmatrix} 0 & 0 & 0 & 0 & -l_1 & 0 \\ 0 & 0 & 0 & 0 & 0 & -l_2 \end{bmatrix}. \tag{14}$$

Уравнения наблюдателя и оценок вычисляются из выражений:

$$\dot{\mathbf{y}} = \mathbf{L}(\mathbf{x})\mathbf{y} - \mathbf{L}(\mathbf{x})\int_{0}^{\mathbf{x}} \Gamma(\mathbf{x})d\mathbf{x} + \mathbf{h}_{0}(\mathbf{x},\mathbf{u}) + \Gamma(\mathbf{x})\mathbf{g}_{0}(\mathbf{x},\mathbf{u}),$$

$$\hat{\mathbf{z}} = \int_{0}^{\mathbf{x}} \Gamma(\mathbf{x})d\mathbf{x} - \mathbf{y},$$
(15)

где  $\mathbf{y}$  – вектор переменных наблюдателя;  $\hat{\mathbf{z}}$  – вектор оценок ненаблюдаемых переменных.

Из (10)–(15) получаем уравнения наблюдателя и оценок:

$$\dot{y}_1 = l_1^2 z_1 + l_1 y_1, \qquad \hat{z}_1 = -l_1 z_1 - y_1, 
\dot{y}_2 = l_2^2 z_3 + l_2 y_2, \qquad \hat{z}_2 = -l_2 z_3 - y_2.$$
(16)

Тогда, подставляя оценки (16) в ранее полученный закон управления (9) и меняя  $z_1$  и  $z_3$  на поступающие сигналы  $g_1(t)$  и  $g_2(t)$ , получим итоговое выражение для следящего регулятора:

$$U = \left\{ u_1 = \frac{1}{T_1} (T_1 k_1 (x_3 - (-l_1 g_1 - y_1)) (A_1 + A_2 \sin(x_2)^2) + A_2 \sin(x_2)^2 k_1 (x_1 - g_1) - A_2 \sin(x_2)^2 x_3 + A_1 k_1 (x_1 - g_1) + A_2 \sin(2x_2) T_1 x_3 x_4 - A_1 x_3 + A_5 |x_3| T_1), \right.$$

$$u_2 = -\frac{1}{2T_2} (A_2 \sin(2x_2) T_2 x_3^2 - 2A_4 \sin(x_2) T_2 - 2A_5 |x_4| T_2 + 2k_2 A_3 (g_2 - x_2) + 2A_3 (T_2 k_2 ((-l_2 g_2 - y_2) - x_4) + x_4)) \right\}.$$

На рис. 4 и рис. 5 представлены результаты моделирования замкнутой системы при следующих параметрах при следующих параметрах:  $T_1 = 0,0001$ ;  $T_2 = 0,001$ ;  $T_1 = 0,0001$ ;  $T_2 = 0,001$ ;  $T_1 = 0,0001$ ;  $T_2 = 0,001$ ;  $T_2 = 0,001$ ;  $T_3 = 0,001$ ;  $T_4 = 0,001$ ;  $T_4 = 0,001$ ;  $T_5 = 0,001$ ;  $T_7 = 0,0$ 

 $A_4=2.9767;\ A_5=0.1014;\ l_1=-0.01;\ l_2=-0.01;\ g_1=0.1t$  и  $g_2=-0.2t.$ 

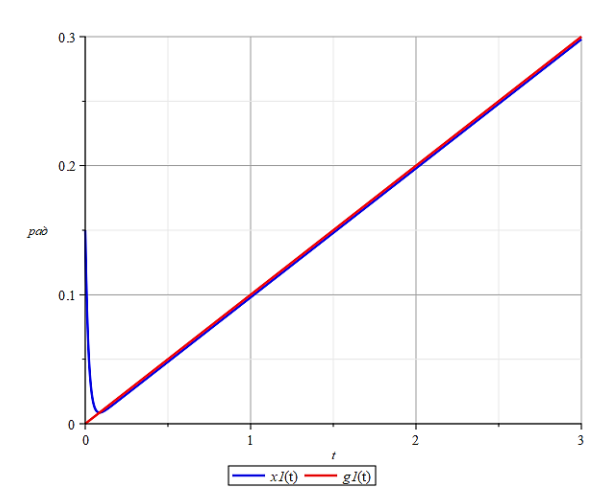


Рис. 4. Угловое перемещение по углу азимута

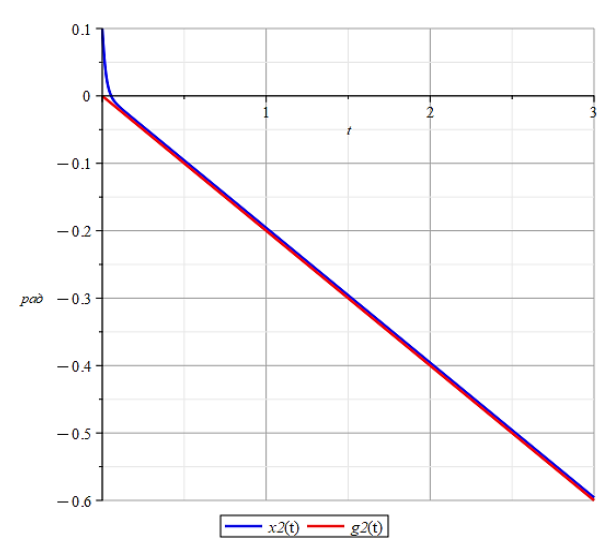


Рис. 5. Угловое перемещение по углу азимута

По результатам моделирования можно сделать вывод, что регулятор отрабатывает корректно, так как наблюдается схождение управляемых переменных, а именно углового перемещения по азимуту и углу места с задаваемыми сигналами.

### IV. ЗАКЛЮЧЕНИЕ

В данной работе были разработаны алгоритмы управления двухосным карданным подвесом для задач позиционирования и слежения на основе современного подхода к синтезу нелинейных регуляторов — синергетической теории управления.

Предложенное решение, в отличие от классических линейных методов, учитывает нелинейную динамику системы, включая перекрёстные связи, кориолисовы и центробежные силы, а также гравитационные моменты, что обеспечивает высокую точность и высокую эффективность.

Моделирование подтвердило работоспособность и корректность синтезированных законов управления, демонстрируя стабилизацию углового положения в желаемых значения и сходимость углового перемещения с поступающими сигналами.

#### Список литературы

- [1] Sangveraphunsiri V., Malithong K. Control of Inertial Stabilization Systems Using Robust Inverse Dynamics Control and Sliding Mode Control // The 6th International Conference on Automotive Engineering: conference proceedings. Thailand: Chulalongkorn University, 2010. P. 1–10.
- [2] Parameter Estimation and Fuzzy Controller Design for a Two-Axis Gimbal / J. Roya [et. al.] // Intelligent and Fuzzy Techniques in Big Data Analytics and Decision Making: conference proceedings in Advances in Intelligent Systems and Computing. Istanbul: Springer. 2019. Vol. 1029. P. 89–98.
- [3] Mohammad K., Mohammad M. A. Adaptive Dynamic Surface Control of a Two Axis Gimbal System // IET Science, Measurement & Technology. 2016. Vol. 10, iss. 6. P. 553–678.
- [4] Ghadiri H., Mohammadi A., Khodadadi H. Fast terminal sliding mode control based on SDRE observer for two-axis gimbal with external disturbances // Journal of the Brazilian Society of Mechanical Sciences and Engineering. 2022. P. 1–23.
- [5] Wongkamchang P., Sangveraphunsiri V. Control of Inertial Stabilization Systems Using Robust Inverse Dynamics Control and Adaptive Control // The 6th International Conference on Automotive Engineering: conference proceedings. Thailand: Chulalongkorn University, 2010. P. 1–13.
- [6] Mohammad F., Hossein B. Corrigendum: 'Adaptive dynamic surface control of a two-axis gimbal system' // IETScience, Measurement & Technology. 2022. Vol. 17. P. 289–296.
- [7] Попов А.Н. Синергетический синтез следящих регуляторов // Известия ЮФУ. Технические науки. Таганрог: 2018. №7 (201). С. 220–231.
- [8] Колесников А.А. Синергетическая теория управления. М: Энергоатомиздат, 1994.
- [9] Современная прикладная теория управления: Синергетический подход в теории управления / под ред. А.А. Колесникова. Ч. 2. Таганрог: Изд-во ТРТУ, 2000. 344 с.
- [10] Колесников А.А. Синергетическая теория управления: концепции, методы, тенденции развития // Известия ТРТУ. 2001. № 5 (23). С. 7–27.